

## ВЛИЯНИЕ МАГНИТНОГО ПОЛЯ НА ПОЛЯРИЗАЦИЮ ТЕПЛОВОГО ИЗЛУЧЕНИЯ ИЗОТРОПНЫХ ПОЛУПРОВОДНИКОВ

А. Г. Коллюх, В. А. Мороженко

Институт полупроводников Академии наук Украины, 252650, Киев, Украина  
(Получена 10.04.1992. Принята к печати 26.06.1992)

Впервые исследовано влияние магнитного поля на поляризационные характеристики теплового излучения изотропных полупроводников. На основании формул Френеля и эффекта Фарадея показано, что при углах наблюдения, отличных от нормали, тепловое излучение поляризовано, а степень поляризации существенно зависит от оптических параметров материала и величины магнитного поля. На образцах  $n$ -InSb ( $n = 1.4 \cdot 10^{18} \text{ см}^{-3}$ ) в магнитных полях  $0 < B < 2\text{T}$  при температуре 310 К обнаружены осцилляции степени поляризации теплового излучения. Из сравнения расчета и эксперимента определена эффективная масса электронов.

1. Исследования свойств полупроводников путем изучения их теплового излучения (ТИ) вызывают в последнее время все больший интерес (см. обзор [1]). Такие исследования представляются актуальными в связи с легкостью и доступностью их реализации. Изменяя любым из известных способов полное число носителей заряда, по характеру изменения интенсивности ТИ можно определить основные параметры полупроводниковой плазмы, а по спектральным характеристикам — параметры исследуемого материала. Однако поляризационные свойства ТИ сколь-нибудь детально не исследованы.

В настоящей работе исследованы поляризационные характеристики ТИ изотропного полупроводника в магнитном поле. Здесь на основании формул Френеля, определяющих эти характеристики, и явления фарадеевского вращения плоскости поляризации электромагнитных волн показано, что ТИ при углах наблюдения, отличных от нормали, поляризовано, а степень поляризации существенным образом зависит от оптических параметров вещества и величины магнитного поля.

2. Рассмотрим радиационные характеристики нагретой полупроводниковой пластины, связанные с поведением излучения на ее границе в спектральной области за краем фундаментального поглощения.

Общее рассмотрение задачи об отражении и преломлении электромагнитного излучения на границе на основании уравнений Максвелла приводит к известным обобщенным формулам Френеля для определения величины выходящего излучения [2]. Выражение для интенсивности излучения внутри плоского слоя нерассеивающегося материала толщиной  $d'$  с оптически гладкой поверхностью, распространяющегося под углом  $\varphi$  к нормали, может быть записано в виде

$$\tilde{I}_{s,p} = \frac{Q[1 - \exp(-kd)]}{1 - R_{s,p} \exp(-kd)} \Delta\omega, \quad (1)$$

и для коэффициентов отражения  $R_{s,p}$  имеем

$$R_s(\varphi) = \frac{\sin^2(\varphi - \alpha)}{\sin^2(\varphi + \alpha)}, \quad R_p(\varphi) = \frac{\operatorname{tg}^2(\varphi - \alpha)}{\operatorname{tg}^2(\varphi + \alpha)}. \quad (2)$$

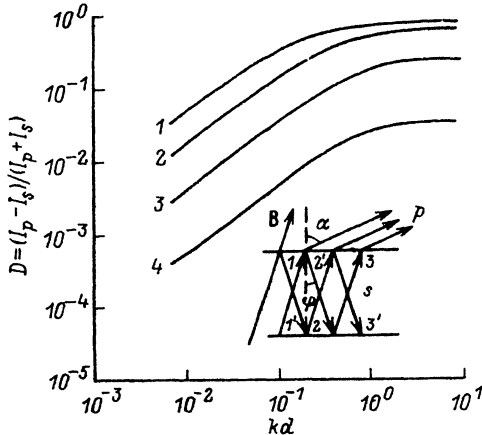


Рис. 1. Расчетные зависимости степени поляризации теплового излучения от оптической толщины кристалла. Угол наблюдения, град: 1 – 85, 2 – 75, 3 – 50, 4 – 20. На вставке – распространение излучения внутри полупроводниковой пластины.

В этих формулах  $d = d'/\cos(\varphi)$ ,  $Q$  – функция Планка,  $k$  – коэффициент поглощения материала,  $\alpha = \arcsin(n \sin \varphi)$  – угол преломления,  $n$  – показатель преломления,  $\Delta\omega$  – телесный угол распространения излучения. Индексы  $s$  и  $p$  обозначают, что эти соотношения записаны для излучения с вектором электрического поля, соответственно перпендикулярным и параллельным плоскости падения.

Очевидно, что при взаимодействии с границей ТИ разделяется на две составляющие (см. вставку на рис. 1): а) на собственное излучение внутри кристалла, которое с учетом многократных отражений в объеме описывается формулой (1) и при углах падения  $\varphi$ , отличных от нормали, является частично поляризованным с доминированием  $s$ -компоненты поляризации; б) на излучение, выходящее в телесном угле  $\Delta\Omega$ , интенсивность которого равна

$$I_{s,p} = Q \frac{(1 - R_{s,p}) [1 - \exp(-kd)]}{1 - R_{s,p} \exp(-kd)} \Delta\Omega, \quad (3)$$

с доминирующей  $p$ -поляризацией, при этом степень поляризации преломленного излучения, определяемая как  $D = (I_p - I_s)/(I_p + I_s)$ , растет с увеличением угла наблюдения  $\alpha$ .

Здесь важно отметить, что степень поляризации становится зависимой от оптических характеристик кристалла. На рис. 1 представлена расчетная зависимость  $D$  от величины  $kd$ , определяющей оптическую толщину кристалла при различных углах наблюдения ТИ. При  $kd \gg 1$  (оптически толстый кристалл), когда поглощение велико, величина  $D$  максимальна и обусловлена лишь углом наблюдения и значением показателя преломления. С увеличением степени прозрачности кристалла  $D$  начинает падать, и при  $kd \ll 1$  (оптически тонкий кристалл) излучение становится практически неполяризованным.

Для объяснения такого поведения зависимости  $D(kd)$  рассмотрим, не уменьшая общности, распространение излучения под углом Брюстера (кривая 2). После первого акта преломления вся  $p$ -компоненты излучения выйдет из кристалла и в объеме будет распространяться только  $s$ -поляризованное излучение. При каждом последующем взаимодействии с поверхностью часть его будет преломляться, компенсируя  $p$ -компоненту вышедшего излучения, уменьшая значение степени поляризации. В отсутствие поглощения ( $kd \ll 1$ )  $s$ -поляризованное излу-

чение внутри кристалла, претерпев бесконечное число переотражений, полностью выйдет наружу и полное вышедшее излучение останется неполяризованным. С увеличением  $kd$  все большая часть  $s$ -поляризованной компоненты излучения внутри пластины поглощается, при этом полной компенсации  $p$ -компоненты выходящего излучения уже не происходит, что проявляется в увеличении степени поляризации. При  $kd \gg 1$  переотражение внутри кристалла отсутствует и за пределы выходит излучение только из приповерхностного слоя толщиной порядка  $1/k$ . Испытав лишь один акт преломления, вышедшее излучение имеет максимальную степень поляризации  $D = (R_s - R_p) / [2 - (R_p + R_s)]$ . В пластине существует бесконечное число лучей, аналогичных рассмотренному. Если толщина пластины намного меньше продольных размеров, то для каждого из них справедливо приведенное выше рассмотрение, и выводы, сделанные для одного луча, справедливы для всего излучения.

Рассмотрим теперь влияние магнитного поля на характер ТИ полупроводниковой пластины. Расположим пластину таким образом, чтобы силовые линии магнитного поля  $B$  совпадали с направлением распространения  $s$ -поляризованных лучей  $1, 2', 3, \dots$  (рис. 1). В этом случае взаимодействие свободных носителей с поляризованной волной приводит к повороту ее плоскости поляризации на угол  $\beta$  (эффект Фарадея), описываемый выражением [3]

$$\beta = \frac{Ne^3 B d \lambda^2}{8\pi^2 c^3 \epsilon_0 n (m^*)^2}. \quad (5)$$

Здесь  $N$ ,  $m^*$  — концентрация и эффективная масса свободных носителей заряда соответственно,  $\lambda$  — длина волны наблюдаемого излучения,  $c$  — скорость света в вакууме,  $\epsilon_0$  — диэлектрическая проницаемость материала,  $B$  — магнитная индукция.

Проследим прохождение через кристалл лучей  $1, 2, 3, \dots$ . Очевидно, что луч  $1$ , являясь неполяризованным, не испытывает влияния магнитного поля. При прохождении частично поляризованного луча  $2$  его компоненты поворачиваются на угол  $\beta$ . Новые значения интенсивностей  $s$ - и  $p$ -компонент излучения определяются выражениями

$$\tilde{I}_{s,p}' = [\tilde{I}_{s,p}' \cos^2 \beta + \tilde{I}_{s,p}' \sin^2 \beta] \Delta\omega. \quad (6)$$

Здесь  $\tilde{I}_{s,p}'$  — интенсивности  $s$ -,  $p$ -компонент после последнего акта отражения с учетом поглощения на пути от одной поверхности к другой. Таким образом, при очередном взаимодействии с поверхностью перераспределение излучения на отраженное и преломленное происходит при новых значениях  $\tilde{I}_{s,p}$ , внося изменения в степень поляризации наблюдаемого излучения.

Для простоты рассмотрим поведение зависимости  $D(B)$ , учитывая лишь лучи  $1$  и  $2'$ . Из (1) и (6) следует, что интенсивности каждой из компонент выходящего излучения составляют

$$I_p = Q(1 - R_p) [R_p \exp(-kd) \cos^2 \beta + R_s \exp(-kd) \sin^2 \beta + 1] \Delta\Omega,$$

$$I_s = Q(1 - R_s) [R_s \exp(-kd) \cos^2 \beta + R_p \exp(-kd) \sin^2 \beta + 1] \Delta\Omega. \quad (7)$$

Пренебрегая квадратичными членами по  $R_{s,p}$ , получаем для степени поляризации следующее выражение:

$$D(B) = \frac{(R_p - R_s) [\exp(-kd) \cos(2\beta) - 1]}{(R_s + R_p) [\exp(-kd) - 1] + 2}, \quad (8)$$

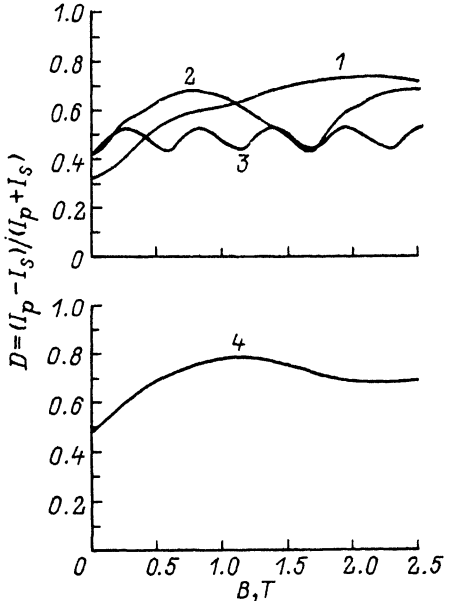


Рис. 2. Расчетные зависимости степени поляризации теплового излучения полупроводниковой пластины от внешнего магнитного поля 1–3 – монохроматические излучения;  $\lambda$ , мкм: 1 – 7, 2 – 11, 3 – 16. 4 – интегральное излучение,  $\lambda = 7+11$  мкм.

Из (7) видно, что интенсивности  $s$ - и  $p$ -компонент излучения изменяются в магнитном поле, а зависимость  $D(B)$  принимает осциллирующий характер. При увеличении магнитного поля и соответственно угла поворота плоскости поляризации  $D(B)$  возрастает, достигая максимального значения при  $\beta = 90^\circ$ , а затем убывает до равновесного значения. Здесь необходимо подчеркнуть, что (8) дает лишь качественный характер зависимости ввиду принятых упрощений.

На рис. 2 представлены расчетные зависимости  $D(B)$  для монохроматического излучения с длиной волны 7, 11 и 16 мкм (соответственно кривые 1–3) и

для интегрального излучения в диапазоне 7+11 мкм (кривая 4). Расчет проводился численным методом с учетом 6 актов отражения. В качестве модельного полупроводника принимался  $n$ -InSb, при этом использовались следующие параметры материала:  $\epsilon_0 = 17$ ,  $N = 1.4 \cdot 10^{18} \text{ см}^{-3}$ ,  $d = 0.017 \text{ см}$ . Учет дисперсии поглощения и показателя преломления проводился согласно данным [4].

Как видно, для монохроматического излучения зависимость степени поляризации от магнитного поля имеет осциллирующий характер, при этом частота осцилляций растет с увеличением длины волны. Такое поведение  $D(B, \lambda)$  объясняется спектральной зависимостью  $\beta$  [см. формулу (5)]. Вместе с тем заметно уменьшение глубины осцилляций, которое обусловлено дисперсией поглощения. При увеличении  $k$  переотраженное в объем излучение все больше поглощается, не достигая поверхности, и все меньше участвует в изменении  $D$ . И, как было сказано выше, в случае полностью непрозрачного образца ( $kd \gg 1$ )  $D$  стремится к своему предельному значению и зависимость  $D(B)$  не наблюдается.

Другая ситуация проявляется для интегрального излучения – кривая 4 не является осциллирующей. Это объясняется в основном зависимостью фарадеевского угла от длины волн. Кроме того, от  $\lambda$  зависят как функция Планка, так и коэффициент поглощения. Вследствие всего этого различные спектральные участки дают различный вклад в  $D(B)$ . Вначале, в области сравнительно небольших значений магнитного поля,  $D(B)$  растет аналогично ситуации для монохроматического излучения. Затем происходит смещение вкладов несогласованных по фазе разных зависимостей  $D$  от  $B$ ,  $\beta$ ,  $\lambda$ , в результате которого степень поляризации становится практически независимой от магнитного поля.

Здесь следует отметить, что, как показывает расчет, наибольший эффект модуляции степени поляризации ТИ должен проявиться при углах наблюдения, близких к углу Брюстера. Действительно, в этом случае происходит максимальная поляризация отраженного внутри кристалла излучения, что и определило выбор условия наблюдения ТИ.

3. Обратимся теперь к экспериментальным результатам. Эксперимент проводился на неориентированных кристаллах  $n$ -InSb с концентрацией нескомпенсированной примеси  $1.4 \cdot 10^{18} \text{ см}^{-3}$ . Образец представлял собой пластину раз-

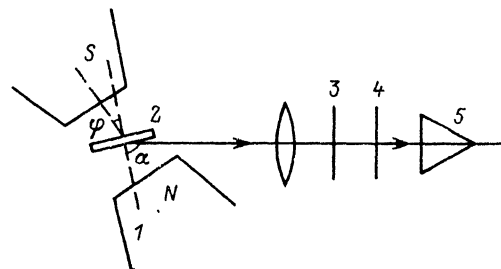


Рис. 3. Схема эксперимента. 1 — магнит, 2 — образец, 3 — анализатор, 4 — фильтр, 5 — фотоприемник.

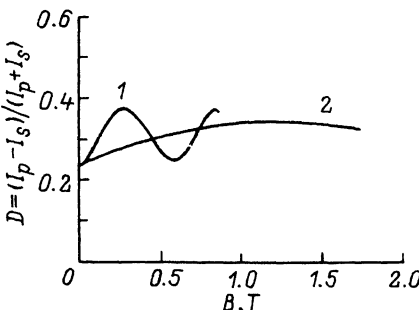


Рис. 4. Экспериментальные зависимости степени поляризации ТИ  $n\text{-InSb}$  от магнитного поля.  $N_d = N_a = 1.4 \cdot 10^{18} \text{ см}^{-3}$ .  $\lambda, \text{мкм}: 1 - (16 \pm 0.3), 2 - (7 \div 11)$  (излучение интегральное).

мерами  $5 \times 16 \times 0.17$  мм. Угол между нормалью к широкой (излучающей) грани и магнитным полем составлял  $14^\circ$  (угол Брюстера). Излучение наблюдалось под углом  $76^\circ$  (рис. 3). Температура образца поддерживалась на уровне 310 К.

В качестве приемника излучения использовались охлаждаемый фоторезистор на основе CdHgTe либо пироэлектрический приемник. Для выделения необходимой спектральной области применялись фильтры InSb с полосой пропускания 7—22 мкм или интерференционные фильтры. В качестве анализатора применялась дифракционная решетка. Угловая апертура оптической схемы составляла  $20^\circ$ .

На рис. 4 приведены экспериментальные зависимости степени поляризации теплового излучения от величины магнитного поля. Кривая 1 соответствует  $D(B)$  ТИ в узкой спектральной полосе ( $16 \pm 0.3$ ) мкм, кривая 2 — значению  $D(B)$  интегрального ТИ в полосе 7—11 мкм. Как и ожидалось, эти характеристики имеют немонотонный характер, причем кривая 1 носит явно осциллирующий вид. Расчетные и экспериментальные зависимости находятся в удовлетворительном согласии, количественное же расхождение значений  $D$  может быть связано с неучтенной угловой апертурой измерений.

Анализ и сравнение расчетной зависимости  $D(B)$  с экспериментальной для 16 мкм позволили определить эффективную массу электронов в исследуемом материале, которая составила  $m^* = 0.031 m_e$ . Эта величина достаточно хорошо согласуется со значениями  $m^*$ , полученными ранее другими методами.

Таким образом, приведенные результаты показали влияние магнитного поля на оптические характеристики собственного теплового излучения изотропной среды. При углах наблюдения, отличных от нормали, в области достаточной прозрачности полупроводника ( $k d < 1$ ) удается управлять степенью поляризации наблюдаемого излучения. По экспериментальным данным определена эффективная масса электрона, что позволяет предположить возможность использования явления, подобно традиционным магнитооптическим эффектам, для определения параметров полупроводников.

## СПИСОК ЛИТЕРАТУРЫ

- [1] V. K. Mal'yutenko. *Infrared Phys.*, 32, 291 (1991).
- [2] В. А. Петров, Н. В. Марченко. В кн.: Перенос энергии в частично прозрачных твердых материалах. 188. М. (1985).
- [3] Т. Мосс, Г. Баррел, Б. Эллис. В кн.: Полупроводниковая оптоэлектроника, 429. М. (1979).
- [4] К. Хилсум, А. Роуз-Инс. В кн.: Полупроводники типа  $A_3B_5$ , 322. М. (1963).